

研究の概要

稲生俊雄

小 弥

Study of High Density Monoclonal Antibodies

1. はじめに

CD DOM 2. 稲生俊雄 1. はじめに

Monoclonal Antibodies



Beam Spot

Parabola

M

Disk Motion



Recording Layer



2 FAD 磁気超絶縁ディスクの磁気特性

1. はじめに

2. FADの構造

3. FADの磁気特性

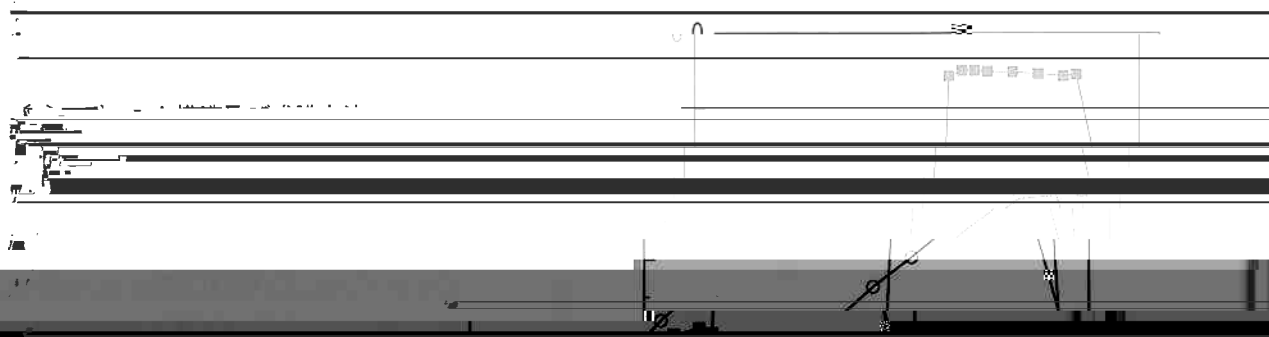
4. FADの磁気特性の測定

5. FADの磁気特性の解析

6. FADの磁気特性の改善

7. FADの磁気特性の応用

8. FADの磁気特性の将来



1. はじめに

2. FADの構造

3. FADの磁気特性

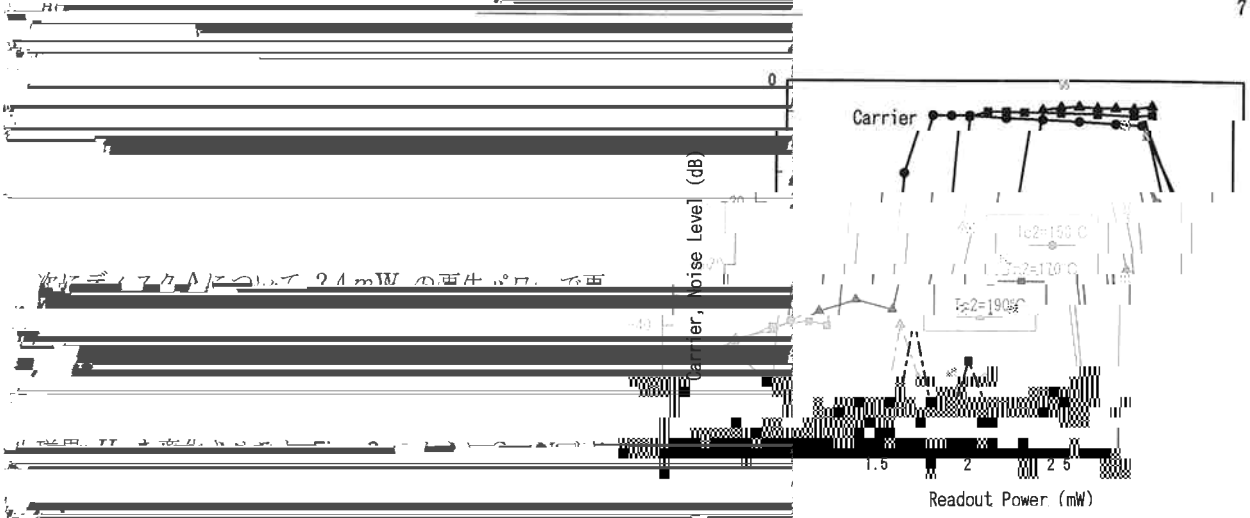
4. FADの磁気特性の測定

5. FADの磁気特性の解析

6. FADの磁気特性の改善

7. FADの磁気特性の応用

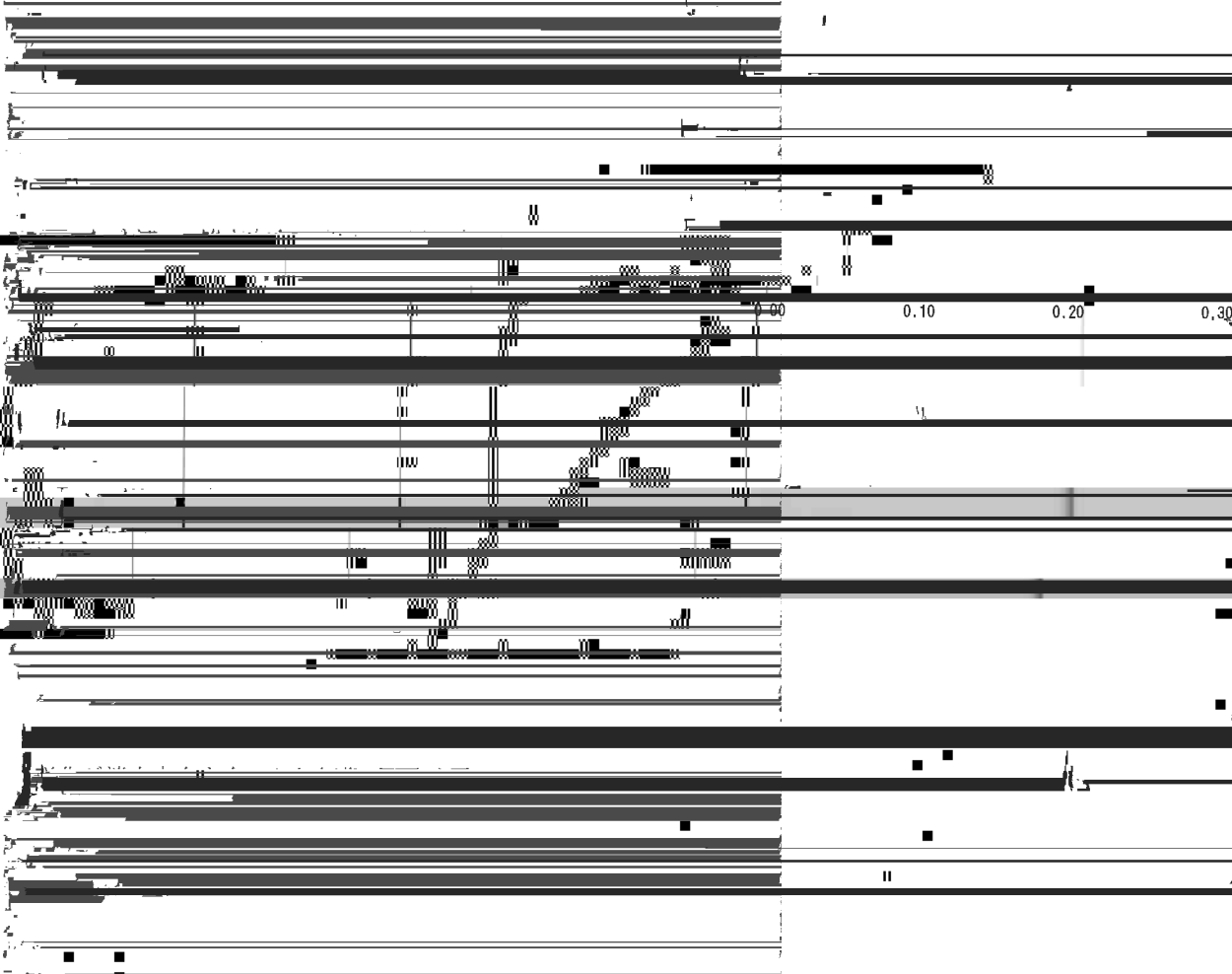
8. FADの磁気特性の将来



再生電力が2.1mWの再生電力

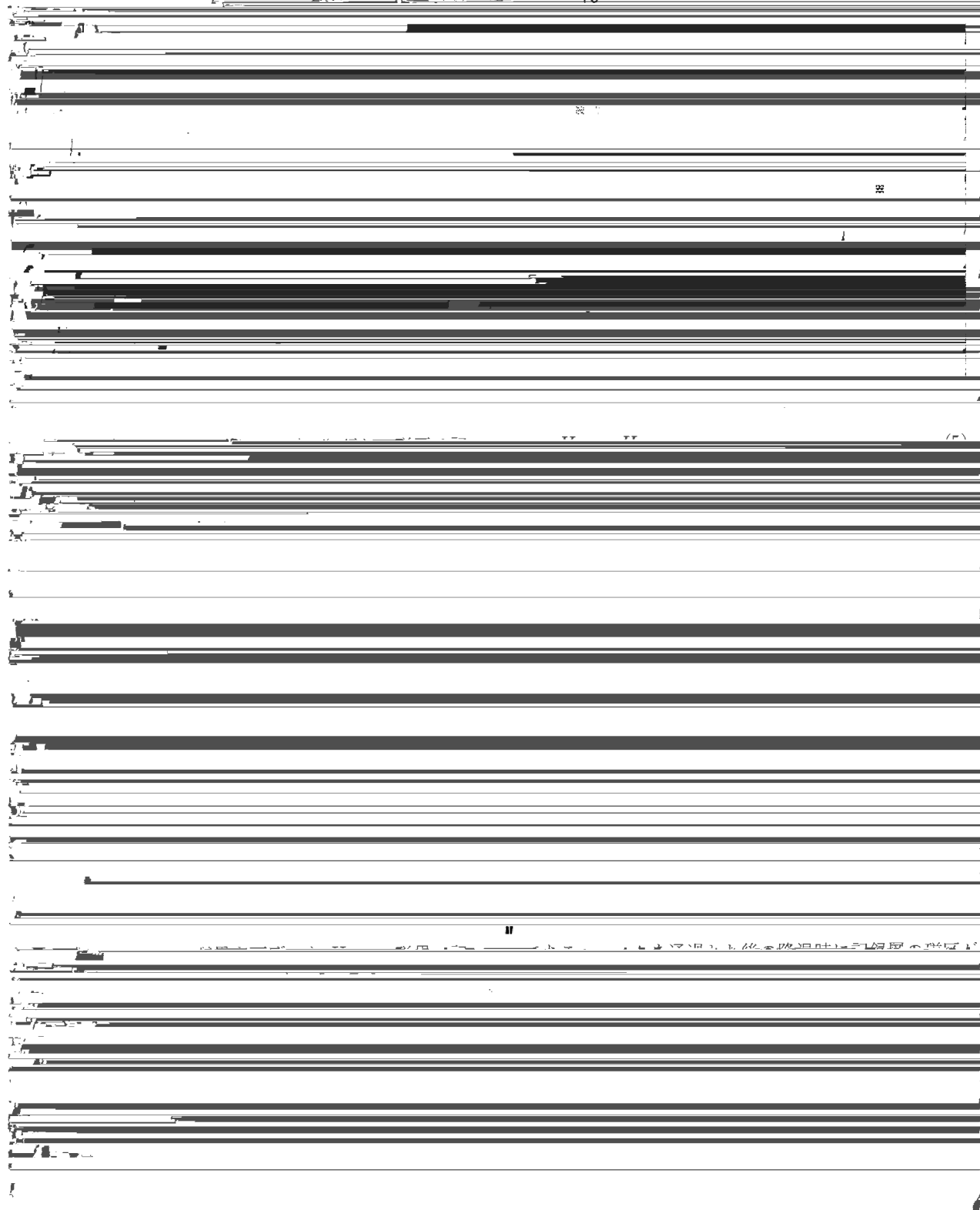


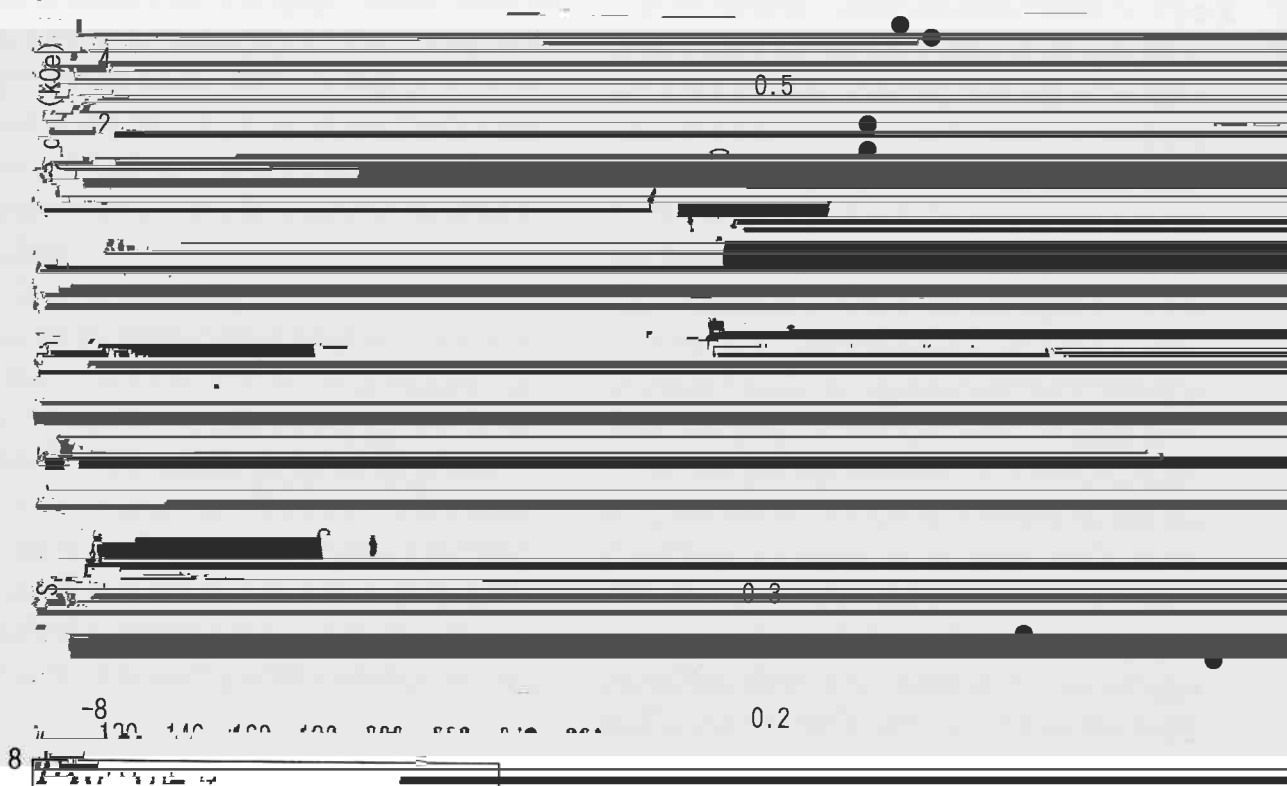
再生磁果が消去方向 記録方向でみれば





10









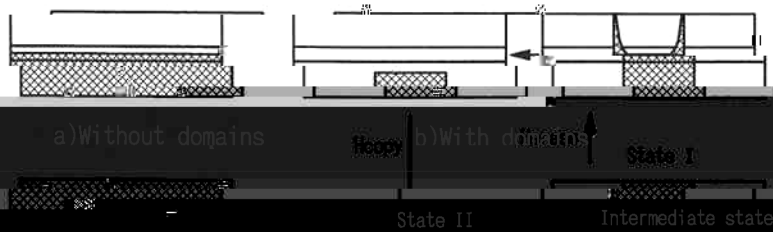


图 14

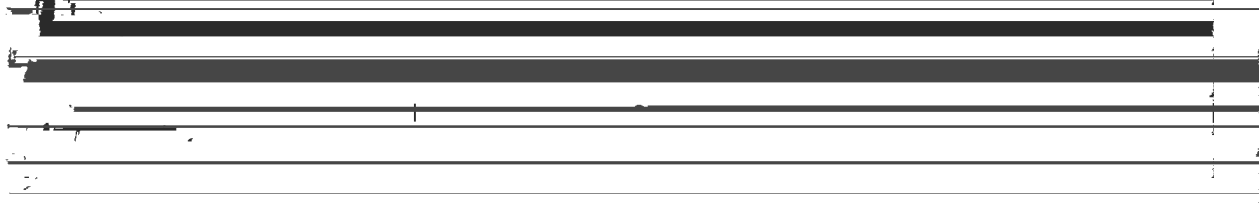
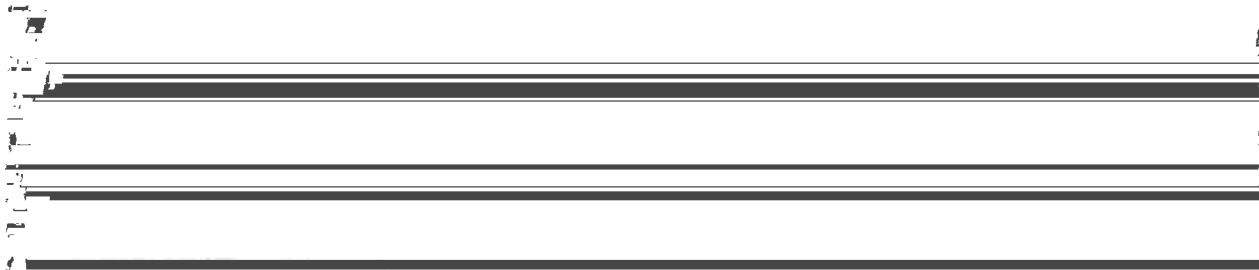


Recording L: TbFeCo: 40nm

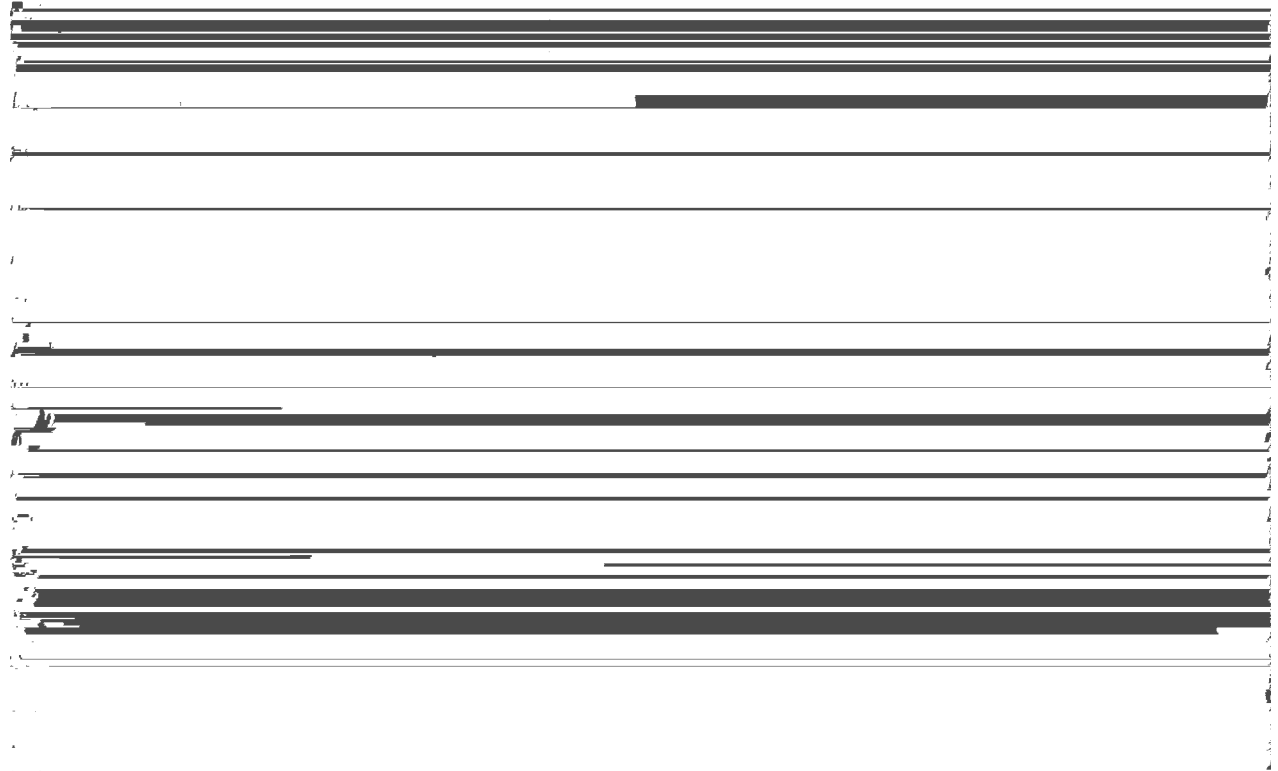
Fig. 15 The model of the up-transition for each state. The case with



この図は、受信機側の受信電圧の時間変化を示している。図中の各点には、受信電圧の値が記入されている。また、図中の各点には、受信電圧の値が記入されている。

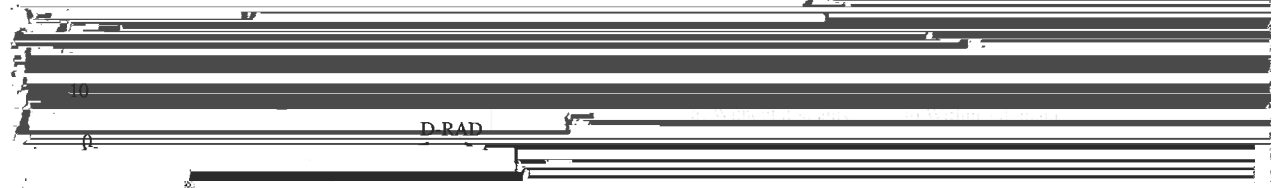


ト R-RAD として D-RAD. 并合解位率の比較が得る。



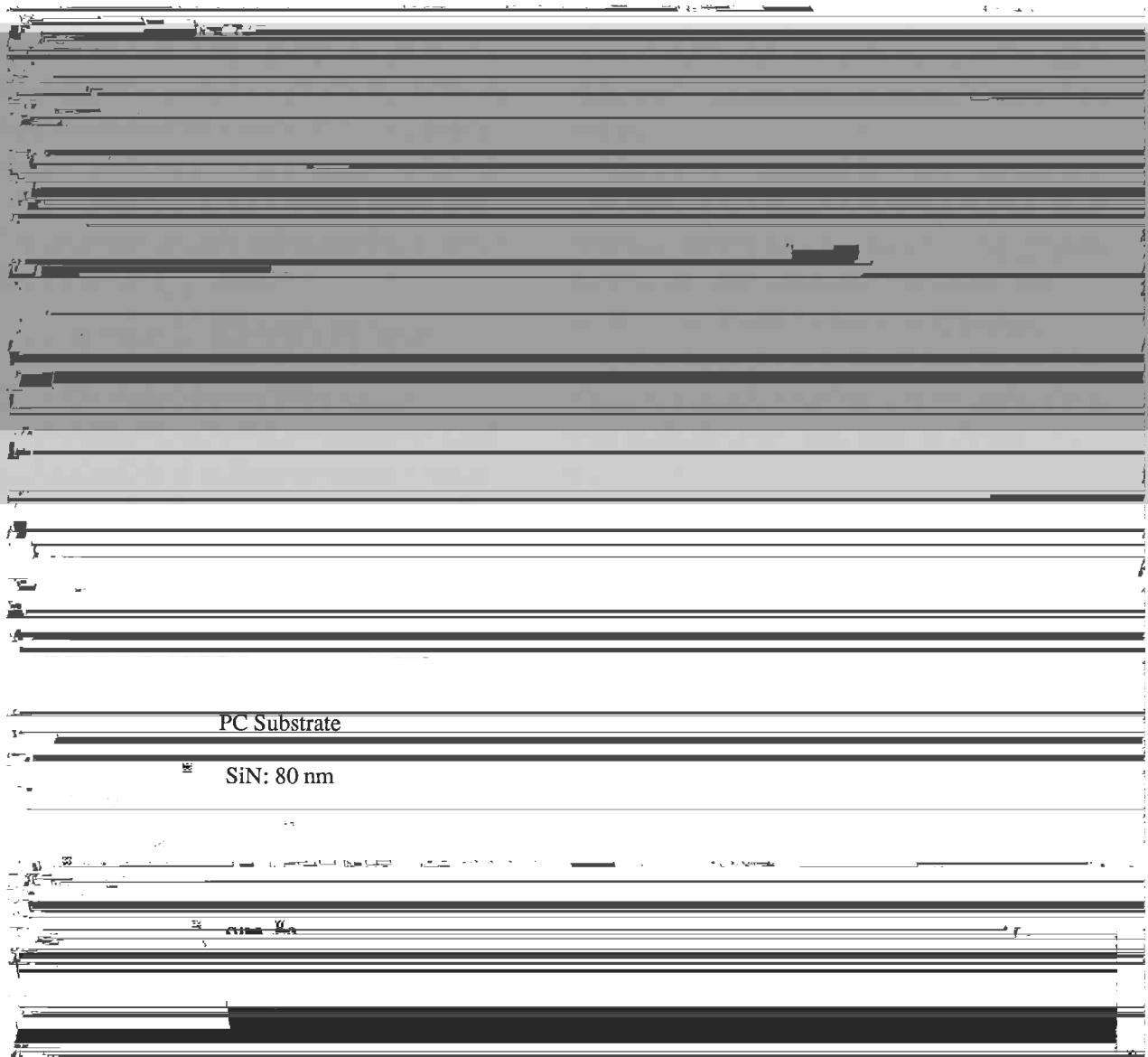
かしきふたわズ

ト R-RAD として D-RAD. 并合解位率の比較が得る。

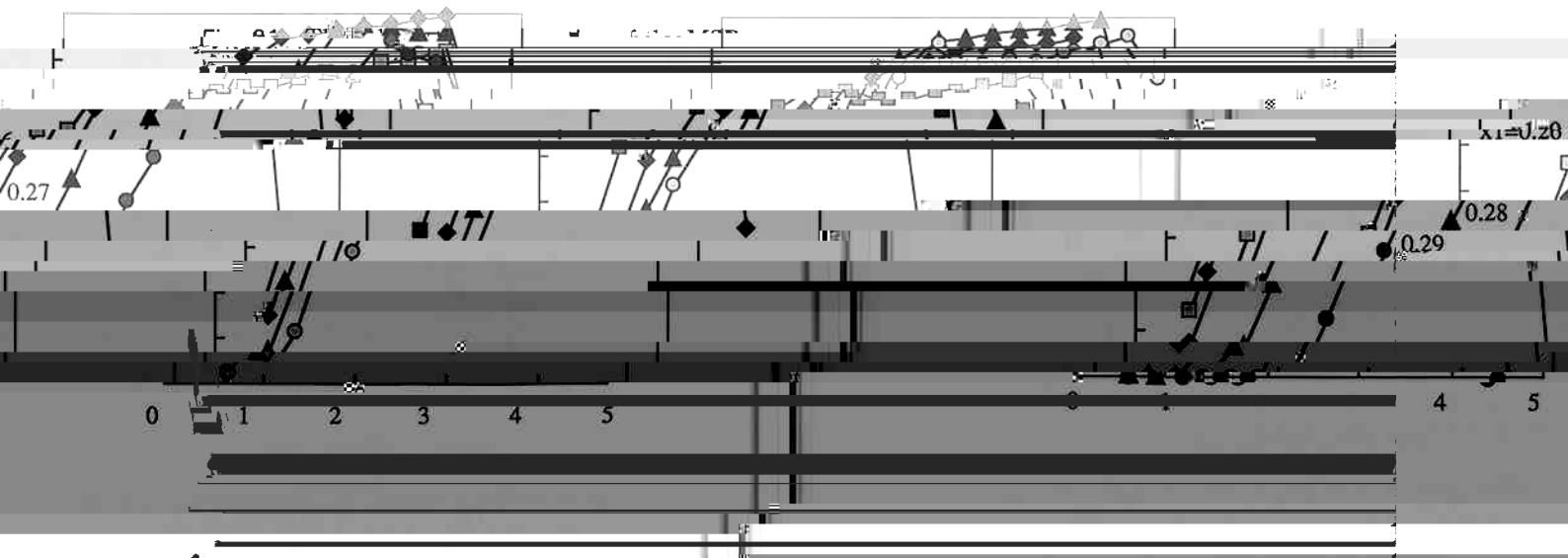


D-RAD





Al: 20 nm



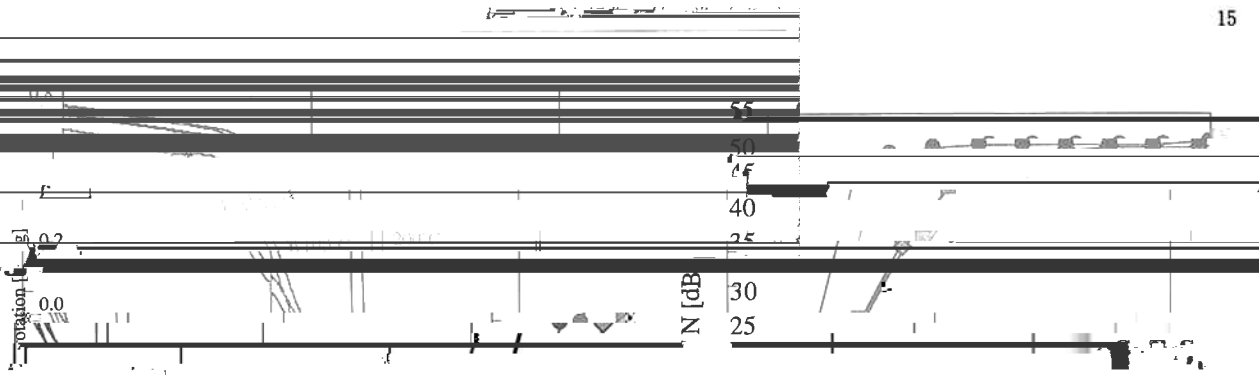


Fig. 24. *K* parameter versus applied field for the samples with the

69

30

11

In-plane

40  
30  
10  
C/M (dB)

0.2 0.3 0.4 0.5 0.6 0.7 0.8  
Mark Length (μm)

20 Diagram of C/M as a function of

12)

14)

15)



155-159.

ted to *Magneto-Optical Recording Int. Symp.*

